

刘玮,宗佩君,许婷婷. lncRNA PCAT1 靶向 miR-329-3p 调控舌鳞状细胞癌细胞增殖、迁移侵袭和谷氨酰胺分解的机制研究 [J]. 中国比较医学杂志, 2021, 31(11): 102-107.

Liu W, Zong PJ, Xu TT. Mechanism of lncRNA PCAT1 in regulating the proliferation, migration, invasion and glutamine decomposition of tongue squamous cell carcinoma cells by targeting miR-329-3p [J]. Chin J Comp Med, 2021, 31(11): 102-107.
doi: 10. 3969/j.issn.1671-7856. 2021. 11. 015

LncRNA PCAT1 靶向 miR-329-3p 调控舌鳞状细胞癌细胞增殖、迁移侵袭和谷氨酰胺分解的机制研究

刘 玮¹,宗佩君²,许婷婷^{1*}

(1.潍坊护理职业学院病理教研室,山东 潍坊 262500;2.山东省潍坊市益都中心医院病理科,山东 潍坊 262500)

【摘要】目的 探讨长链非编码 RNA 前列腺癌相关转录物 1(PCAT1)调控舌鳞状细胞癌(TSCC)增殖、迁移侵袭和谷氨酰胺分解的调控机制。**方法** 实时荧光定量聚合酶链反应(qRT-PCR)检测 TSCC 癌组织、癌旁组织、TSCC 细胞和常口腔角质细胞中 PCAT1、miR-329-3p 的表达情况。脂质体转染法将 pcDNA 组(转染 pcDNA)、pcDNA-PCAT1 组(转染 pcDNA-PCAT1)、miR-NC 组(转染 miR-NC)、miR-329-3p 组(转染 miR-329-3p mimics)、pcDNA-PCAT1+miR-NC 组(共转染 pcDNA-PCAT1 和 miR-NC)、pcDNA-PCAT1+miR-329-3p 组(共转染 pcDNA-PCAT1 和 miR-329-3p mimics)转染至 UM1 细胞;细胞计数试剂盒(CCK-8)、迁移实验(Transwell)、酶联免疫吸附试验(ELISA)检测细胞增殖、迁移侵袭和谷氨酰胺分解产物谷氨酸盐、 α -酮戊二酸(α -KG)水平。双荧光素酶试验检测细胞中 PCAT1 与 miR-329-3p 之间的结合力。**结果** 与癌旁组织组相比,癌组织组 PCAT1 表达明显上调,miR-329-3p 表达明显下调;与 NHOK 组相比,UM1、CAL-27、SCC25 细胞中 PCAT1 表达均上调,miR-329-3p 表达均下调($P<0.05$);与 pcDNA 组相比,pcDNA-PCAT1 组 PCAT1 表达明显上升,细胞增殖率、细胞侵袭数和细胞侵袭数均发生上调,谷氨酸盐水平和 α -KG 水平也发生明显升高($P<0.05$);PCAT1 可靶向调控 miR-329-3p;与 miR-NC 组相比,miR-329-3p 组 TSCC 细胞 miR-329-3p 表达显著升高,细胞增殖率、细胞迁移数和细胞侵袭数均显著降低,谷氨酸盐水平和 α -KG 水平均明显降低($P<0.05$);与 pcDNA-PCAT1+miR-NC 组相比,pcDNA-PCAT1+miR-329-3p 组 PCAT1 表达显著降低,细胞增殖率、迁移细胞数和侵袭细胞数均明显降低,谷氨酸盐水平和 α -KG 水平也显著下调($P<0.05$)。**结论** PCAT1 促进 TSCC 细胞增殖、迁移侵袭和谷氨酰胺分解,其机制与靶向 miR-329-3p 有关。

【关键词】 PCAT1;miR-329-3p;舌鳞状细胞癌;谷氨酰胺分解

【中图分类号】 R-33 **【文献标识码】** A **【文章编号】** 1671-7856 (2021) 11-0102-06

Mechanism of lncRNA PCAT1 in regulating the proliferation, migration, invasion and glutamine decomposition of tongue squamous cell carcinoma cells by targeting miR-329-3p

LIU Wei¹, ZONG Peijun², XU Tingting^{1*}

(1. Pathological Staff Room, Weifang Nursing Vocational College, Weifang 262500, China.
2. Department of Pathology, Yidu Central Hospital, Weifang 262500)

[作者简介]刘玮(1978—),女,讲师,研究方向:病理学与病理生理学。E-mail: o1ggbo@163.com

[通信作者]许婷婷(1987—),女,副教授,研究方向:病理学与病理生理学。E-mail: 258776507@qq.com

[Abstract] **Objective** To investigate the regulatory mechanism of long-chain non-coding RNA prostate cancer-related transcription 1 (PCAT1) in proliferation, migration, invasion and glutamine decomposition of tongue squamous cell carcinoma (TSCC) cells. **Methods** Real-time quantitative polymerase chain reaction was used to detect expression of PCAT1 and miR-329-3p in TSCC tissues, adjacent tissues, TSCC cells and normal oral keratinocytes. Liposomal transfection was applied to UM1 cells. Groups were the pcDNA group (transfected with pcDNA), pcDNA-PCAT1 group (transfected with pcDNA-PCAT1), miR-NC group (transfected with miR-NC), miR-329-3p group (transfected with miR-329-3p mimics), pcDNA-PCAT1 + miR-NC group (cotransfected with pcDNA-PCAT1 and miR-NC) and pcDNA-PCAT1 + miR-329-3p group (cotransfected with pcDNA-PCAT1 and miR-329-3p mimics). Cell counting kit, migration assay (Transwell) and enzyme-linked immunosorbent assay were used to assess cell proliferation, migration/invasion, and levels of glutamine decomposition products glutamate and α -ketoglutarate (α -KG). The dual luciferase assay was used to detect binding between PCAT1 and miR-329-3p in cells. **Results** Compared with adjacent tissue, expression of PCAT1 in cancer tissue was upregulated significantly and expression of miR-329-3p was downregulated significantly. Compared with NHOK cells, PCAT1 expression was upregulated and miR-329-3p expression was downregulated in UM1, CAL-27 and SCC25 cells and of ($P < 0.05$). Compared with the pcDNA group, expression of PCAT1 was significantly increased in the pcDNA-PCAT1 group, cell proliferation, invasion and migration were upregulated, and the levels of glutamate and α -KG were increased significantly ($P < 0.05$). PCAT1 targeted miR-329-3p. Compared with the miR-NC group, expression of miR-329-3p in TSCC cells of the miR-329-3p group was increased significantly cell proliferation, migration, and invasion were reduced significantly, and the levels of glutamate and α -KG were reduced significantly ($P < 0.05$). Compared with the pcDNA-PCAT1+miR-NC group, expression of PCAT1 in the pcDNA-PCAT1+miR-329-3p group was reduced significantly, cell proliferation, migration, and invasion were reduced significantly, and the levels of glutamate and α -KG were also reduced significantly ($P < 0.05$). **Conclusions** PCAT1 promotes the proliferation, migration, invasion, and glutamine decomposition of TSCC cells and its mechanism is related to targeting miR-329-3p.

[Keywords] PCAT1; miR-329-3p; tongue squamous cell carcinoma; glutamine decomposition

舌鳞状细胞癌(tongue squamous cell carcinoma, TSCC)是口腔最常见的恶性肿瘤之一,占口腔肿瘤的90%以上。它对人类的生命和健康构成了严重的威胁。尽管在治疗方面取得了许多进展,包括根治性手术、放疗和新辅助化疗,但TSCC仍与不良预后相关。由于局部侵袭性强、淋巴结转移率高,患者5年生存率仅为50%左右^[1]。因此,探讨肿瘤的作用机制、寻找更有效的治疗策略非常重要。长链非编码RNA(long non-coding RNA, LncRNA)是一种近期发现的在肿瘤中具有重要调控作用因子^[2]。前列腺癌相关转录物1(prostate cancer-associated transcript 1, PCAT1)是其中之一,这是近2年新发现的一种LncRNA。顾名思义,PCAT1是首先在前列腺癌中发现的,其在喉癌、子宫内膜癌中均发挥促进癌症恶化作用^[3-5]。但PCAT1在舌鳞状细胞癌中的表达及其可能作用机制尚未可知,本研究旨在探究PCAT1在TSCC中的功能机制。

1 材料和方法

1.1 实验材料

1.1.1 细胞

人正常口腔角质细胞NHOK、人舌鳞状细胞癌

细胞UM1、CAL-27、SCC25均购自美国模式培养物保存所。

1.1.2 材料

35例TSCC组织及匹配的癌旁组织来自本医院2018年2月~2020年6月期间接受TSCC手术切除的患者。患者或其家属均签署知情同意书。

1.2 主要试剂与仪器

人谷氨酸盐(glutamate)ELISA检测试剂盒购自上海卡努生物科技有限公司; α -酮戊二酸(α -ketoglutarate, α -KG)检测试剂盒购自Abcam;细胞计数试剂盒(cell counting kit,CCK-8)购自日本同仁化学研究中心;实时荧光定量反转录聚合酶链反应试剂盒(Real-time fluorescence quantitative reverse transcription polymerase chain reaction,qRT-PCR)购自日本TaKaRa;双荧光素酶报告基因检测试剂盒购自上海碧云天生物研究所;实验中的质粒、DNA和引物均由深圳默赛尔生物医学发展公司设计合成。

1.3 方法

1.3.1 细胞培养

NHOK、UM1、CAL-27、SCC25细胞的培养所使用的培养液均为DMEM培养基(含有15%胎牛血清+1%青链霉素混合液)。培养条件为:37℃、5%

CO_2 、饱和湿度的恒温培养箱中常规培养、传代。

1.3.2 分组

将收集的 TSCC 组织标记为癌组织组,癌旁组织标记为癌旁组织组;将正常培养的 NHOK、UM1、CAL-27、SCC25 细胞分别标记为 NHOK 组、UM1 组、CAL-27 组、SCC25 组;用 3 倍质粒或 DNA 量的脂质体将质粒或 DNA 转染至 UM1 细胞,具体为香江脂质体和质粒或 DNA 混合,再将混合液与 UM1 细胞共培养 8 h,添加培养液继续培养至 48 h,再用 qRT-PCR 检测转染的效率。各组细胞所转染的质粒或 DNA 为 pcDNA 组(转染 pcDNA)、pcDNA-PCAT1 组(转染 pcDNA-PCAT1)、miR-NC 组(转染 miR-NC)、miR-329-3p 组(转染 miR-329-3p mimics)、pcDNA-PCAT1+miR-NC 组(共转染 pcDNA-PCAT1 和 miR-NC)、pcDNA-PCAT1 + miR-329-3p 组(共转染 pcDNA-PCAT1 和 miR-329-3p mimics)。

1.3.3 qRT-PCR 检测 PCAT1、miR-329-3p 表达

将需要检测的细胞提取总 RNA,并反转录为 cDNA,作为模板放置在 -20℃ 保存备用。用 qRT-PCR 试剂盒检测模板中 PCAT1、miR-329-3p 表达。结果以 GAPDH、U6 为内参, $2^{-\Delta\Delta CT}$ 法计算 PCAT1、miR-329-3p 的相对表达水平。PCAT1,上游引物 5'-TGAGAAGAGAAATCTATTGGAACC-3',下游引物 5'-GGTTTGTCTCCGCTGCTTta-3';GAPDH,上游引物 5'-ATGGGGAAGGTGAAGGTCG-3',下游引物 5'-GGGTCATTGATGCCAACATA-3';miR-329-3p 上游引物 5'-GGGAACACACCTGGTTAAC-3',下游引物 5'-CACTGCGTGTGGACT-3';U6 上游引物 5'-GCTTCGGCAGCACATATACTAAAAT-3',下游引物 5'-CGCTTCACGAATTGCGTGTCA-3'。

1.3.4 CCK-8 实验检测细胞增殖率

将需要检测的细胞调整至每毫升 10^5 个,取其中 100 μL 置于 24 孔板,按照 CCK-8 试剂盒要求操作添加反应液,在 490 nm 波长下检测细胞吸光值(A)。细胞增殖率为 $A_{\text{实验组}}/A_{\text{对照组}} \times 100\%$ 。

1.3.5 Transwell 实验检测细胞迁移侵袭

将需要检测的细胞先用不含血清培养液培养 12 h,调整至每毫升 5×10^4 个。取 100 μL 细胞浸润小室上表面的膜,再去 600 μL 含血清的培养液置于下室,将小室移至 37℃ 培养箱中培养 12 h。结束后去除残余的细胞,将膜进行固定和染色,并将膜的上表面朝上封片。用显微镜进行镜检,观察细胞的数量,计数,取平均数。

1.3.6 ELISA 实验检测谷氨酸盐、 α -KG 水平

收集需要检测的细胞上清液,按人谷氨酸盐(glutamate)ELISA 检测试剂盒、 α -酮戊二酸(α -KG)检测试剂盒要求操作,测定其中谷氨酸盐、 α -KG 的水平。结果以相对应的对照组水平为单位 1,计算检测组细胞上清中谷氨酸盐、 α -KG 的水平。

1.3.7 生物信息学预测

使用生物信息学在线预测网站 starbase(<http://starbase.sysu.edu.cn>)分析 PCAT1 与 miR-329-3p 之间是否存在结合位点。

1.3.8 双荧光素酶报告实验验证 PCAT1 靶向 miR-329-3p

根据预测到的 PCAT1 结合位点用化学合成野生型 PCAT1 基因片段(含有结合位点)和突变型 PCAT1 基因片段(不含结合位点),并将其克隆至荧光载体 psiCHECK2 构建荧光素酶报告基因,并提取质粒。用脂质体将其与 miR-NC、miR-329-3p 共转染至 UM1。用双荧光素酶报告实验试剂盒检测细胞中萤火虫、海肾的荧光活性,结果以萤火虫荧光活性与海肾荧光活性之比表示 PCAT1 与 miR-329-3p 之间结合。

1.4 统计学方法

实验中所涉及的计量资料使用平均数±标准差($\bar{x} \pm s$)表示,统计分析均使用医药专用统计软件 PEMS 2.0 分析。多组数据之间比较采用单因素方差分析,总体有差异进一步采用 LSD-t 检验进行两两比较,两组数据比较采用独立样本 t 检验。以 $P < 0.05$ 表示差异有统计学意义。

2 结果

2.1 PCAT1、miR-329-3p 在 TSCC 中的表达

与癌旁组织组相比,癌组织组 PCAT1 表达明显上调,miR-329-3p 表达明显下调($P < 0.05$);与 NHOK 组相比,UM1、CAL-27、SCC25 细胞中 PCAT1 表达均上调,miR-329-3p 表达均下调($P < 0.05$),其中 UM1 细胞中 PCAT1 的表达水平相对较高,因而选用 UM1 细胞进行后续研究(表 1、表 2)。

2.2 PCAT1 对 TSCC 细胞增殖、迁移侵袭和谷氨酰胺分解的影响

与 pcDNA 组相比,pcDNA-PCAT1 组 PCAT1 表达明显上升,细胞增殖率、细胞侵袭数和细胞侵袭数均发生上调,谷氨酸盐水平和 α -KG 水平也发生明显升高($P < 0.05$,表 3)。

2.3 PCAT1 靶向 miR-329-3p

通过生物信息学在线预测网站 starbase (<http://starbase.sysu.edu.cn>) 预测到 PCAT1 与 miR-329-3p 之间存在互补的结合位点(图1)。与 miR-NC 组相比,miR-329-3p 组 WT-PCAT1 细胞的荧光活性明显降低,miR-329-3p 组 UM1 细胞 PCAT1 表达显著降低($P<0.05$)(表4、图2)。

2.4 miR-329-3p 对 TSCC 细胞增殖、迁移侵袭和谷氨酰胺分解的影响

与 miR-NC 组相比,miR-329-3p 组 TSCC 细胞 miR-329-3p 表达显著升高,细胞增殖率、细胞迁移数和细胞侵袭数均显著降低,谷氨酸盐水平和 α -KG 水平均明显降低($P<0.05$,表5)。

2.5 miR-329-3p 对 PCAT1 在 TSCC 细胞调控作用的回复

与 pcDNA-PCAT1+miR-NC 组比,pcDNA-PCAT1 +miR-329-3p 组 PCAT1 表达显著降低,细胞增殖率、迁移细胞数和侵袭细胞数均明显降低,谷氨酸盐水平和 α -KG 水平也显著下调($P<0.05$,表6)。

3 讨论

PCAT1 在人类的多种癌症中均表现出促进癌症恶化的作用^[6-7],但是其在 TSCC 中是否也具有相同的促进癌症恶化作用有待探究。Huang 等^[8]在研究中报道,PCAT1 在食道鳞状细胞癌(esophageal squamous cell carcinoma, ESCC)组织和细胞中的表达明显升高,下调 PCAT1 抑制 ESCC 细胞的增殖。PCAT1 通过调节 PHLPP/FKBP51/IKK α 复合物激活 AKT/NF- κ B 信号传导而促进去势抵抗性前列腺癌的发生及发展^[9]。PCAT1 通过 Wnt/ β -catenin 信号通路调节肝外胆管癌的进展^[10]。本研究发现 PCAT1 在 TSCC 组织和癌细胞中的表达均显著上调,并且过表达 PCAT1 促进癌细胞的增殖、迁移侵袭和谷氨酰胺分解,提示 PCAT1 在 TSCC 中发挥促进癌症恶化的作用。谷氨酰胺是一种具有胺官能团的非必需氨基酸,是血液中循环最丰富的氨基酸。赖谷氨酰胺分解一直被认为是癌细胞代谢的一个标志。与正常分化的细胞不同,癌细胞已经重新编程了新陈代谢,以满足其能量需求。许多代谢途径癌在细胞的能量获取中占据重要地位,如葡萄糖转运,包括谷氨酰胺分解和磷酸戊糖途径^[11-12]。谷氨酰胺分解产物谷氨酸盐、 α -酮戊二酸(α -KG)是谷氨酰胺代谢的关键产物,本研究发现过表达

PCAT1 能够上调谷氨酸盐、 α -KG 的含量。

本研究还发现,PCAT1 能够吸附 miR-329-3p,推测这可能与 PCAT1 在 TSCC 中的功能有联系。据报道,大量 miRNA 在 TSCC 中表达失调^[13-14],但是仍有新发现的 miRNA 在 TSCC 中的功能尚未清楚。Chang 等^[15]报道,miR-329-3p 在胃癌组织中的表达水平明显下调,并且与患者的淋巴转移、分期和总生存期呈负相关,表明 miR-329-3p 的下调与胃癌患者的预后不良有关。Li 等^[16]发现,miR-329-3p 在宫颈癌组织和细胞系中的表达水平均降低,miR-329-3p 低表达与宫颈癌患者的组织学分级、分期和淋巴结转移呈负相关。miR-329-3p 的上调能够抑制宫颈癌细胞增殖、迁移和侵袭。并且 MAPK1 为

表 1 TSCC 组织中 PCAT1、miR-329-3p 的表达($\bar{x}\pm s$, n=35)

Table 1 Expression of PCAT1 and miR-329-3p in TSCC

组别 Groups	前列腺癌相关转录 1 PCAT1	微小 RNA-329-3p miR-329-3p
癌旁组织组 Adjacent tissue group	0.96±0.06	0.97±0.07
癌组织组 Cancer tissue group	4.71±0.32 *	0.32±0.03 *
<i>t</i>	34.554	25.605
<i>P</i>	0.000	0.000

注:与癌旁组织组相比, * $P<0.05$ 。

Note. Compared with the adjacent tissue group, * $P<0.05$.

表 2 TSCC 细胞中 PCAT1、miR-329-3p 的表达($\bar{x}\pm s$, n=9)

Table 2 Expression of PCAT1 and miR-329-3p in TSCC cells

组别 Groups	前列腺癌相关转录 1 PCAT1	微小 RNA-329-3p miR-329-3p
NHOK 组 NHOK group	0.99±0.07	1.02±0.09
UM1 组 UM1 group	5.87±0.38 *	0.25±0.02 *
CAL-27 组 CAL-27 group	4.96±0.34 *	0.48±0.04 *
SCC25 组 SCC25 group	4.37±0.36 *	0.64±0.05 *
<i>F</i>	413.885	299.881
<i>P</i>	0.000	0.000

注:与 NHOK 组相比, * $P<0.05$ 。

Note. Compared with the NHOK group, * $P<0.05$.



图 1 PCAT1 与 miR-329-3p 之间的互补核苷酸序列

Figure 1 Complementary nucleotide sequence between PCAT1 and miR-329-3p

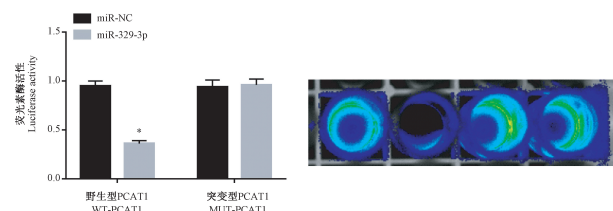


图2 荧光素酶报告实验检测荧光活性

Figure 2 Luciferase reporter assay was used to detect the fluorescence activity**表3** 过表达 PCAT1 的 TSCC 细胞增殖、迁移侵袭和谷氨酰胺分解情况($\bar{x} \pm s$, n=9)**Table 3** Proliferation, migration, invasion and glutamine decomposition of TSCC cells overexpressing PCAT1

组别 Groups	前列腺癌相关 转录 1 PCAT1	增殖率(%) Proliferation rate	迁移细胞数(个) Number of migrating cells	侵袭细胞数(个) Number of invasion cells	谷氨酸盐水平 Glutamate levels	α -KG 水平 α -KG levels
pcDNA 组 pcDNA group	1.00±0.05	100.01±2.37	99±7	75±5	1.01±0.07	0.99±0.08
pcDNA-PCAT1 组 pcDNA-PCAT1 group	3.58±0.26 [*]	143.17±4.93 [*]	147±9 [*]	96±6 [*]	1.87±0.14 [*]	1.79±0.13 [*]
<i>t</i>	29.234	78.569	12.630	8.066	16.483	15.723
<i>P</i>	0.000	0.000	0.000	0.000	0.000	0.000

注:与 pcDNA 组相比, $*P<0.05$ 。Note. Compared with pcDNA group, $*P<0.05$.**表4** 双荧光素酶报告基因实验结果及 miR-329-3p 的表达($\bar{x} \pm s$, n=9)**Table 4** Experimental results of dual luciferase reporter gene and expression of miR-329-3p

组别 Groups	荧光活性 Fluorescence activity		PCAT1 表达 Expression of PCAT1
	野生型载体 WT-PCAT1	突变型载体 MUT-PCAT1	
miR-NC 组 miR-NC group	0.95±0.05	0.94±0.07	1.01±0.07
miR-329-3p 组 miR-329-3p group	0.36±0.03 [*]	0.96±0.06	0.41±0.03 [*]
<i>t</i>	30.355	0.651	23.635
<i>P</i>	0.000	0.524	0.000

注:与 miR-NC 组相比, $*P<0.05$ 。Note. Compared with miR-NC group, $*P<0.05$.**表5** 过表达 miR-329-3p 对 TSCC 细胞增殖、迁移侵袭和谷氨酰胺分解的影响($\bar{x} \pm s$, n=9)**Table 5** Effects of overexpression of miR-329-3p on TSCC cell proliferation, migration, invasion and glutamine breakdown

组别 Groups	微小 RNA-329-3p miR-329-3p	增殖率(%) Proliferation rate	迁移细胞数(个) 侵袭细胞数(个)		谷氨酸盐水平 Glutamate levels	α -KG 水平 α -KG levels
			Number of migrating cells	Number of invasion cells		
miR-NC 组 miR-NC group	1.02±0.07	99.15±3.21	100±8	76±6	1.00±0.06	0.97±0.09
miR-329-3p 组 miR-329-3p group	3.15±0.19 [*]	68.35±3.26 [*]	71±4 [*]	48±3 [*]	0.73±0.05 [*]	0.58±0.03 [*]
<i>t</i>	31.558	20.196	9.727	12.522	10.371	12.333
<i>P</i>	0.000	0.000	0.000	0.000	0.000	0.000

注:与 miR-NC 组相比, $*P<0.05$ 。Note. Compared with miR-NC group, $*P<0.05$.**表6** miR-329-3p 对 PCAT1 在 TSCC 细胞增殖、迁移侵袭和谷氨酰胺分解作用的影响($\bar{x} \pm s$, n=9)**Table 6** Effects of miR-329-3p on the proliferation, migration, invasion and glutamine breakdown of PCAT1 in TSCC cells

组别 Groups	前列腺癌相关 转录 1 PCAT1	增殖率(%) Proliferation rate	迁移细胞数(个) 侵袭细胞数(个)		谷氨酸盐水平 Glutamate levels	α -KG 水平 α -KG level
			Number of migrating cells	Number of invasion cells		
pcDNA-PCAT1+miR-NC 组 pcDNA-PCAT1+miR-NC group	0.98±0.05	142.98±10.02	145±8	94±7	1.82±0.17	1.73±0.16
pcDNA-PCAT1+miR-329-3p 组 pcDNA-PCAT1+miR-329-3p group	0.75±0.04 [*]	108.25±6.15 [*]	109±7 [*]	77±5 [*]	1.14±0.09 [*]	1.21±0.08 [*]
<i>t</i>	10.776	8.862	10.161	5.929	10.605	8.721
<i>P</i>	0.000	0.000	0.000	0.000	0.000	0.000

注:与 pcDNA-PCAT1+miR-NC 组相比, $*P<0.05$ 。Note. Compared with pcDNA-PCAT1+miR-NC group, $*P<0.05$.

miR-329-3p 的直接靶基因,揭示了 miR-329-3p 通过直接靶向 MAPK1 发挥肿瘤抑制作用,推测其可作为治疗宫颈癌患者的新型治疗靶标。miR-329-3p/ADP 核糖基化因子 1(ARF1)通路可作为肿瘤蛋白 P73 反义 RNA 1(TP73-AS1)的下游吸附因子,参与 TP73-AS1 在宫颈癌中的致癌作用^[17]。此研究发现,miR-329-3p 在 TSCC 组织和癌细胞中的表达异常下调,进一步研究发现过表达 miR-329-3p 能够抑制癌细胞的增殖、迁移侵袭和谷氨酰胺分解,这说明 miR-329-3p 在 TSCC 中具有抑制癌症发生恶化的作用。过表达 miR-329-3p 还能够减弱 PCAT1 对 TSCC 癌细胞恶化的促进作用。本研究发现过表达 miR-329-3p 则可以抑制谷氨酸盐、α-KG, 提示 PCAT1、miR-329-3p 能够通过谷氨酰胺分解调节 TSCC 的进展。

综上所述,PCAT1 在 TSCC 中高表达,miR-329-3p 在 TSCC 中低表达,PCAT1 可通过靶向调控 miR-329-3p 的表达而促进 TSCC 细胞增殖、迁移和侵袭,其可能作为 TSCC 治疗的潜在靶标,还可为进一步阐释 TSCC 的发病机制奠定实验基础。

参考文献:

- [1] Calabrese L, Pietrobon G, Fazio E, et al. Anatomically-based transoral surgical approach to early-stage oral tongue squamous cell carcinoma [J]. Head Neck, 2020, 42(5): 1105–1109.
- [2] Sanchez CA, Kawamura Y, Yamamoto Y, et al. Emerging roles of long non-coding RNA in cancer [J]. Cancer Sci, 2018, 109(7): 2093–2100.
- [3] Emami NC, Kachuri L, Meyers TJ, et al. Association of imputed prostate cancer transcriptome with disease risk reveals novel mechanisms [J]. Nat Commun, 2019, 10(1): 3107–3117.
- [4] Zhao X, Fan Y, Lu C, et al. PCAT1 is a poor prognostic factor in endometrial carcinoma and associated with cancer cell proliferation, migration and invasion [J]. Bosn J Basic Med Sci, 2019, 19(3): 274–281.
- [5] Hu W, Dong N, Huang J, et al. Long non-coding RNA PCAT1 promotes cell migration and invasion in human laryngeal cancer by sponging miR-210-3p [J]. J BUON, 2019, 24(6): 2429–2434.
- [6] Zhang P, Liu Y, Fu C, et al. Knockdown of long non-coding RNA PCAT1 in glioma stem cells promotes radiation sensitivity [J]. Med Mol Morphol, 2019, 52(2): 114–122.
- [7] Zhang C, Shao S, Zhang Y, et al. LncRNA PCAT1 promotes metastasis of endometrial carcinoma through epigenetical downregulation of E-cadherin associated with methyltransferase EZH2 [J]. Life Sci, 2020, 243(2): 117295–117305.
- [8] Huang L, Wang Y, Chen J, et al. Long noncoding RNA PCAT1, a novel serum-based biomarker, enhances cell growth by sponging miR-326 in oesophageal squamous cell carcinoma [J]. Cell Death Dis, 2019, 10(7): 513–513.
- [9] Shang Z, Yu J, Sun L, et al. LncRNA PCAT1 activates AKT and NF-κB signaling in castration-resistant prostate cancer by regulating the PHLPP/FKBP51/IKK α complex [J]. Nucleic Acids Res, 2019, 47(8): 4211–4225.
- [10] Zhang F, Wan M, Xu Y, et al. Long noncoding RNA PCAT1 regulates extrahepatic cholangiocarcinoma progression via the Wnt/β-catenin-signaling pathway [J]. Biomed Pharmacother, 2017, 94(1): 55–62.
- [11] Bhutia YD, Ganapathy V. Glutamine transporters in mammalian cells and their functions in physiology and cancer [J]. Biochim Biophys Acta, 2016, 1863(10): 2531–2539.
- [12] Li T, Le A. Glutamine metabolism in cancer [J]. Adv Exp Med Biol, 2018, 2018(1063): 13–32.
- [13] Ou D, Wu Y, Liu J, et al. miRNA-335 and miRNA-182 affect the occurrence of tongue squamous cell carcinoma by targeting surviving [J]. Oncol Lett, 2016, 12(4): 2531–2537.
- [14] Karatas OF, Oner M, Abay A, et al. MicroRNAs in human tongue squamous cell carcinoma: From pathogenesis to therapeutic implications [J]. Oral Oncol, 2017, 67(4): 124–130.
- [15] Chang YH, Yin F, Fan GF, et al. Down-regulation of miR-329-3p is associated with worse prognosis in patients with cervical cancer [J]. Eur Rev Med Pharmacol Sci, 2017, 21(18): 4045–4049.
- [16] Li W, Liang J, Zhang Z, et al. MicroRNA-329-3p targets MAPK1 to suppress cell proliferation, migration and invasion in cervical cancer [J]. Oncol Rep, 2017, 37(5): 2743–2750.
- [17] Xu J, Zhang J. LncRNA TP73-AS1 is a novel regulator in cervical cancer via miR-329-3p/ARF1 axis [J]. J Cell Biochem, 2020, 121(1): 344–352.

[收稿日期]2020-10-26